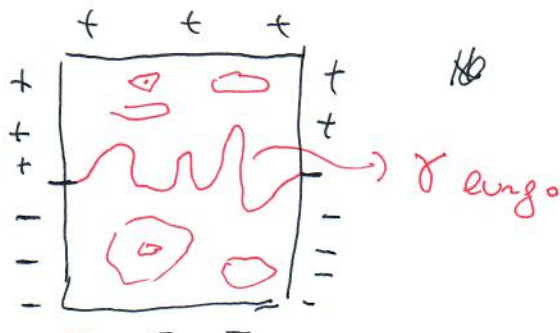


1

STATI DI GIBBS NON INVARIANTI PER
TRASLATORI (= STATI DI DObRUSHIN)

- Sembra strano, ma ci sono stati di Gibbs di volume infinito (= soluzioni DCR) non invarianti per traslazioni anche se il potenziale lo è.
- Si possono costruire per il modello di Ising non solo per $d \geq 3$ e a temperatura assolutamente bassa (J grande) e campo magnetico nullo. Descrivono un'interfaccia (tra la $F_{\text{fix}+}$ e la $F_{\text{fix}-}$) localizzata.
- Per costruirli bisogna scegliere delle condizioni al bordo che formino la presenza di un'interfaccia e vediamo cosa succede nel limite termodinamico (condizioni al bordo di Dobrushin)



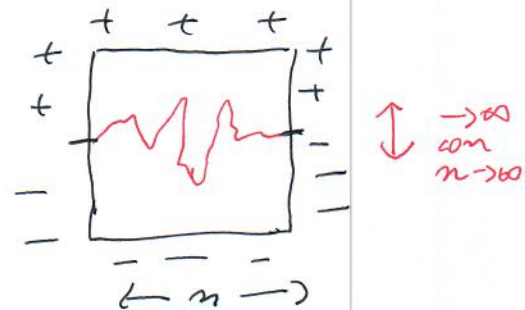
Nella rappresentazione in termini delle variazioni di contorno ci necessiterebbe un contorno "lungo" che attraversasse la scatola.

Cosa succede nel limite termodinamico?

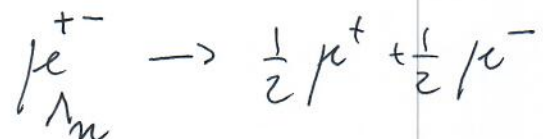
2 Scenari: χ siamo vicini all'origine (2)

(I)

Fluttuazioni dell'interfaccia
grandi ~~no~~ (\Rightarrow illimitate)
nel limite termodinamico



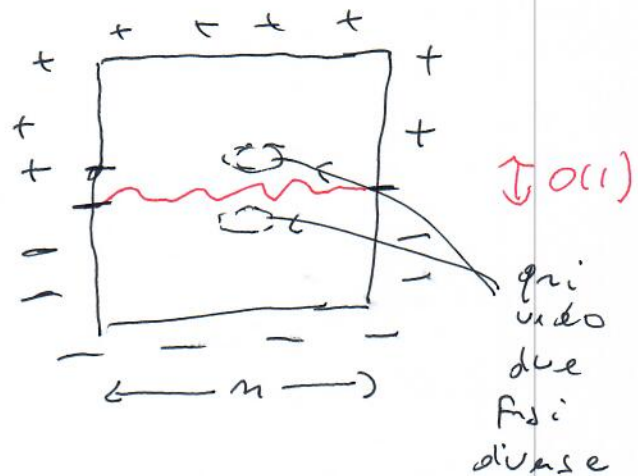
Su osservabili locali vedo
o la $\langle \sigma_F \rangle_+ > \langle \sigma_F \rangle_-$,
e per simmetria - con
la stessa probabilità



(II) Interfaccia loca di zeta:

le fluttuazioni non divergono
nel limite termodinamico

Nel limite termodinamico
costruisco uno stato di volume infinito
non invarianti per traslazioni



Al-B. L'affermazione non è che
le fluttuazioni sono limitate,
evidentemente impossibile,
ma che non dipendono da n



Fatto:

Ising $d=2 \rightarrow$ Scenario I

$\begin{matrix} + \\ - \end{matrix}$ \nearrow $\begin{matrix} + \\ - \end{matrix}$ \nearrow $\begin{matrix} + \\ - \end{matrix}$

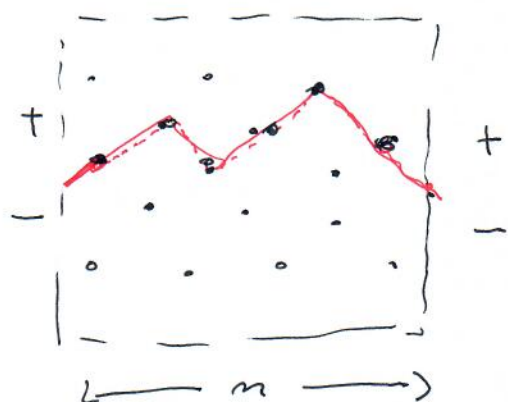
V.A.
illimitata
ma ha
cinte per
 $n \rightarrow \infty$

Ising $d \geq 3$
(bassa temperatura) \rightarrow Scenario II

① $d=2$ [Discussione empiristica]

(3)

Per semplicità ruolo \mathbb{Z}^2 di \mathbb{T}/\mathbb{Z}



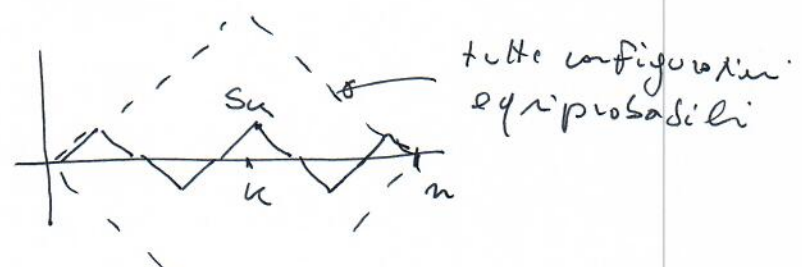
contorno "lungo"

ha lunghezza $\geq \sqrt{2} n$

e ci sono $\sim 2^n$ configurazioni
in cui ha solitamente
lunghezza $= \sqrt{2} n$

(ogni passo ~~può~~ può essere in
alto o basso, n passi
+ vincolo che torna in 0)

Su queste configurazioni il contorno è come
la passeggiata aleatoria 1 dimensionale semplice
simmetrica condizionata a ritorno in 0
dopo n passi



$$(S_k)_{k=0,\dots,n}$$

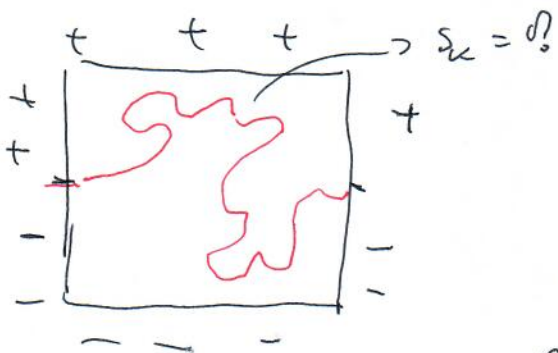
Poss. aleatoria con $S_0 = S_n = 0$

evidentemente

$$\frac{S_n}{2} \sim \sqrt{n}$$

nel senso che $N(\frac{S_n}{2}) \propto n$

② ~~per~~ Ci sono altre configurazioni di θ in cui
il contorno lungo non è una passeggiata
aleatoria



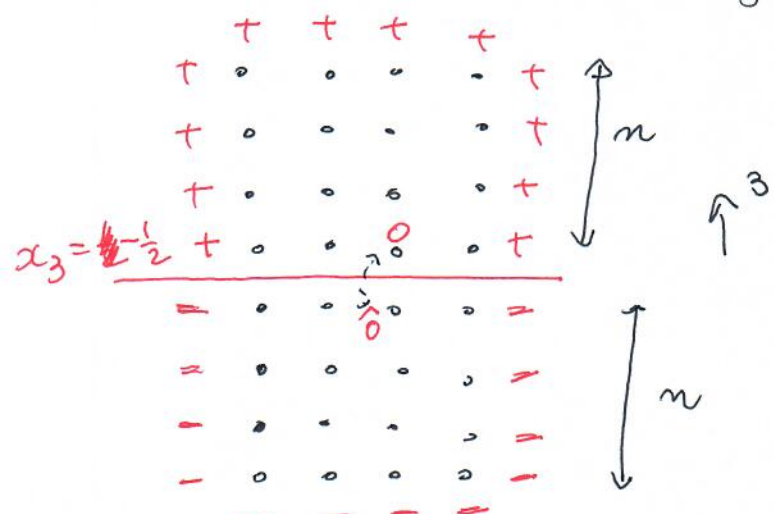
(F)

queste configurazioni sono più sfavorevoli energeticamente (il catenano è più lungo) e per J grande non sono rilevanti.

Effettivamente è stata dimostrata che l'interfaccia riscalata converge ad una \otimes passaggio al limite aleatorio.

③ $d \geq 3$. Costruzione statica di Dobrushin ($d=3$, ma è inessenziale)
Dimostrazione assai più facile dovuta a van Beijeren.

Conviene organizzarsi una geometria facile



$$x_1, x_2 = -n, \dots, n$$

$$x_3 = -n, \dots, -1 \quad \text{vede -}$$

$$0, 1, \dots, n-1 \quad \text{vede +}$$

$$\leftarrow 2n+1$$

$$\left\{ \begin{array}{l} x: x_3 < 0 \\ x: x_3 = 0 \end{array} \right\}$$

$$\Lambda_n = \overline{\Lambda}_n^- \cup \overline{\Lambda}_n^0 \cup \overline{\Lambda}_n^+$$

$\left\{ \begin{array}{l} x: x_3 < 0 \\ x: x_3 = 0 \end{array} \right\}$

$\left\{ \begin{array}{l} \overline{\Lambda}_n^- \text{ immagine} \\ \text{speculare di } \Lambda_n^+ \cup \Lambda_n^0 \\ \text{nrispetto } x_3 = -\frac{1}{2} \end{array} \right\}$

se $\alpha_3 > 0$ ~~hanno~~ $\hat{\alpha}_3 > \alpha_3$ ~~lavoro~~
 invece speculare

Ci organizziamo un accoppiamento con Ising $d=2$
 seduto sul piano $\alpha_3 = 0$

Teo \rightarrow Se $\text{Se } \text{Se } J > J_c(2)$ $\xrightarrow{\text{(Ising } d=3, h=0)}$ $\xrightarrow{\text{(valore critico in } d=2,)}$

$\exists S = S(J) > 0$ T.c. $\forall n$

\rightarrow condizioni di Dobrushin

$$\mu_{\Lambda_n}^+ (\beta_0) \geq S, \quad \mu_{\Lambda_n}^- (\beta_0) \leq -S$$

imagine speculare
di 0
risp/ta $\alpha_3 = -\frac{1}{2}$

OSS Se μ è un punto di accumulazione

di $\{\mu_{\Lambda_n}^+\}_{n \geq 0}$ (\exists per compattezza)

μ è stato di classe di volume infinito

con $\mu(\beta_0) \neq \mu(\beta_0)$ \Rightarrow non invarianti
 per traslazioni

Via
di Widom argomento di Peierls (transizione di Fox
 Ising $d=2$ caso), i.e. Teorema segue
 direttamente dal prossimo lemma.

Lemma

Sia $v_{\Lambda_m^0}^+$ lusing $d=2$ ($h=0$) su Λ_m^0

$x \in \Lambda_m^0$

$$\mu_{\Lambda_m^0}^+(\delta_x) \geq v_{\Lambda_m^0}^+(\delta_x)$$

dim

Accoppiamo $\mu_{\Lambda_m^0}^+$ con $v_{\Lambda_m^0}^+$ ed utilizziamo

le diseguaglianze di Griffith.

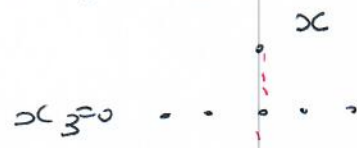
Vediamo come:

δ_x varia se $x \in \Lambda_m$ variando per $\mu_{\Lambda_m}^+$

γ ~~fixed~~ $y \in \Lambda_m^0$ " " $v_{\Lambda_m^0}^+$

Per $x \in \Lambda_m^+ = \{x \in \Lambda_m : x_3 > 0\}$, $x = (x_1, x_2, x_3)$

$$x' \in \Lambda_m^- \text{ definito da } x' = (x_1, x_2, -x_3)$$

Intervalli

Per $x \in \Lambda_m^+$ introduco

$$s_x = \frac{1}{2} (\delta_x + \delta_{x'}) \quad t_x = \frac{1}{2} (\delta_x - \delta_{x'})$$

mentre per $x \in \Lambda_m^0$

$$s_x = \frac{1}{2} (\delta_x + \gamma_x) \quad t_x = \frac{1}{2} (\delta_x - \gamma_x)$$

OSS

$$(\delta, \gamma) \in \Omega_{\Lambda_m} \times \Omega_{\Lambda_m^0} \quad \Leftrightarrow \quad (s_x, t_x) \quad x \in \Lambda_m^+ \cup \Lambda_m^0$$

corrispondenza biunivoca

Inoltre

$$\bullet \quad s_{\alpha}, t_x = -1, 0, +1$$

e

$$s_x = 0 \Leftrightarrow t_x = \pm 1$$

$$s_x = \pm 1 \Leftrightarrow t_x = 0$$

$$\sigma_x = s_x + t_x$$

$$x \in \Lambda_n^+ \cup \Lambda_n^0$$

$$\delta_x = s_x - t_x$$

$$x \in \Lambda_n^-$$

$$\gamma_x = s_x - t_x$$

$$x \in \Lambda_n^0$$

L'affermazione del Lemma è in effetti equivalente a

$$\left(\mu_{\Lambda_n}^{\pm} \otimes v_{\Lambda_n^0}^+ \right) (\rho_x t_x) \geq 0 \quad x \in \Lambda_n^0$$

R accoppiamento prodotto

Vogliamo usare diseguaglianza di Griffith $(\mu(\delta_A) \geq 0)$

per

$$\mu_{\Lambda_n}^{\pm} \otimes v_{\Lambda_n^0}^+$$

nella variabili s_x, t_x

$$x \in \Lambda_n^0 \cup \Lambda_n^+$$

• Senza Hamiltoniana ferro magnetica

• Come la mentiono con il \Rightarrow ho che δ, ϵ possono essere zero?

$$H_{\Lambda_n}(\delta | \pm) + H_{\Lambda_n^0}(\epsilon | +)$$

lo dobbiamo scrivere nelle variabili s, t

Vari così prima vicini

$\{x, y\} \subset \Lambda_m^+$

$$\delta_x \delta_y = (s_x + t_x)(s_y + t_y)$$

$\{x, y\} \subset \Lambda_m^-$

$$\delta_x \delta_y' = (s_x - t_x)(s_y - t_y)$$

rimane
 $2(s_x s_y + t_x t_y)$

$\{x, y\}$ a cavallo tra Λ_m^+ e Λ_m^0 (caso +)

$$x \in \Lambda_m^+, y \notin \Lambda_m^+$$

$$\delta_x \delta_y = (s_x + t_x) + = s_x + t_x$$

$\{x, y'\}$ a cavallo tra Λ_m^- e suo bordo (caso -)

$$x \in \Lambda_m^-$$

$$\delta_x \delta_{y'} = (s_x - t_x) - = -s_x + t_x$$

rimane
 $-t_x$

[bordo notizie: vede
bordo +]

$\{x, y\}$ a cavallo tra Λ_m^+ e Λ_m^0 ($x \in \Lambda_m^0$)

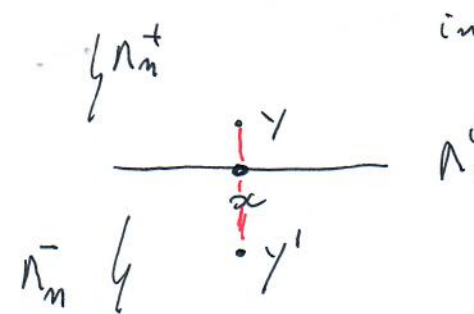
$$\delta_x \delta_y = (s_x + t_x)(s_y + t_y)$$

$\{x, y'\}$ a cavallo tra Λ_m^- e Λ_m^0

$$\delta_x \delta_{y'} = (s_x + t_x)(s_y + t_y)$$

rimane
 $s_x s_y$

intertazione (per σ) a livello con Λ_m^0 (3)



$$\delta_y = s_y + t_y$$

$$\delta_{y'} = s_y - t_y$$

$$\delta_x = (s_x + t_x)$$

$$s_x(\delta_y + \delta_{y'}) = (s_x + t_x)(s_y + \cancel{t_y} + s_y - \cancel{t_{y'}})$$

*buone notizie: solo
ferromagnetica*

$$\{x, y\} \subset \Lambda_m^0$$

$$\begin{aligned} \delta_x \delta_y &= (s_x + t_x)(s_y + t_y) && \text{rimane} \\ z_x z_y &= (s_x - t_x)(s_y - t_y) && 2(s_x s_y + t_x t_y) \end{aligned}$$

$\{x, y\}$ a cavallo tra Λ_m^0 e suo bordo [+ sia per δ
che per z]

$$\delta_x \delta_y = (s_x + t_x) + \quad \text{rimane}$$

$$z_x z_y = (s_x - t_x) + \quad 2 s_x$$

*buone notizie:
bordo +*

Conclusione:

nelle variabili s, t $H_{\Lambda_m}(0|+) + H_{\Lambda_m^0}(z|+)$

è ferromagnetica (accoppiamento $-J\delta$, $J>0$)

con bordo + : siamo nell'ambito di
G. Griffith

- Come la notiamo che s_x, t_x possono valere tutti?

$$\left(\mu_{\Lambda_m^+}^\pm \otimes \nu_{\Lambda_m^0}^+ \right) (\dots) = \frac{1}{Z} \sum_{s,t} (\dots) e^{-H_{\Lambda_m^+}(s/\pm) - H_{\Lambda_m^0}(t/\pm)}$$

scritto prima
nella quadriga
 s, t

$s, t = (s_x, t_x), x \in \Lambda_m^+ \cup \Lambda_m^0$

- dichiariamo ovunque il lungo segno $x \in \Lambda_m^+ \cup \Lambda_m^0$
- ove t_x vale zero

$$= \frac{1}{Z} \sum_{A \subset \Lambda_m^+ \cup \Lambda_m^0} \sum_{s,t:} (\dots) e^{-[H_{\Lambda_m^+}(s/\pm) + H_{\Lambda_m^0}(t/\pm)]}$$

$s|_A = 0$
 $s|_{A^c} \neq 0$ \swarrow restrizione di s su $A \subset A^c$

Fisso $A \subset \Lambda_m^+ \cup \Lambda_m^0$

$\forall x \in A \iff s_x = 0$ (e quindi $t_x = \pm 1$)

$\forall x \notin A \iff s_x = \pm$ (e quindi $t_x = 0$)

In ogni caso ad A fissato ho una

variabile binaria in ogni $x \in A \cup A^c = \Lambda_m^+ \cup \Lambda_m^0$

con Hamiltoniana ferromagnetica

\Rightarrow (Griffith)

$$\sum_{s,t:} (t_x) e^{-[H_A(-+) + H_{A^c}(-)]}$$

$s|_A = 0$
 $s|_{A^c} \neq 0$

≥ 0

Ora

$$\sum_A \dots$$

e' somma di termini tutti ≥ 0

□

(1)

⑥ struttura stati di Gibbs di volume infinito per Ising $d \geq 2$ [senza dimostrazione]

$h=0$, ~~che~~ $J \geq J_c(d)$

[altrimenti sappiamo solo un singolo θ]

Se $J > J_c$ ci sono μ^+ e μ^- invarianti per traslazioni ed estremali.

Per quanto riguarda gli stati invarianti per traslazioni, questo è tutto

$$G_\alpha = \{ \alpha \mu^- + (1-\alpha) \mu^+, \alpha \in [0,1] \}$$

stati di Gibbs di volume infinito invarianti per traslazioni

μ^- e μ^+ sono le! Anzi pure invarianti per traslazioni

$d=2$ Non ci sono stati di Gibbs non invarianti per traslazioni

$$g^{(d=2)} = g_\alpha^{(d=2)}$$

$d \geq 3$ Ci sono gli stati di Dobrushin (non invarianti per traslazioni) appena costruiti

Geometria Teorema:

ws ī

$$\mu_{\Lambda_n}^{\pm}(\delta_0) = -\mu_{\Lambda_n}^{\pm}(\delta_0)$$

immagine speculare

di δ rispetto

$$x_3 = -\frac{1}{2}$$

$$\begin{array}{c} + \\ \text{---} \\ \boxed{\delta} \\ \text{---} \\ + \end{array} \quad x_3 = -\frac{1}{2}$$

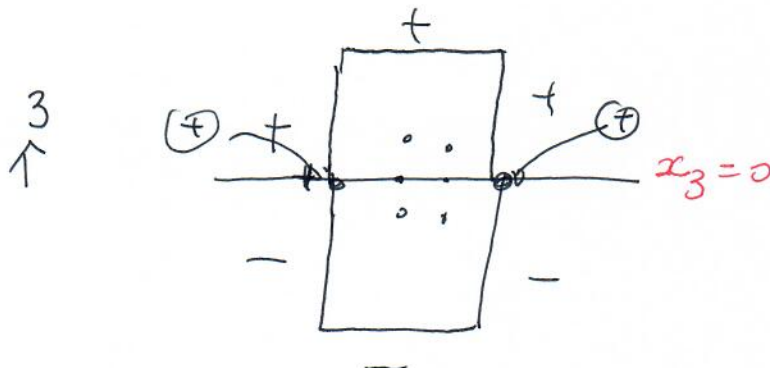
Λ_n simmetrico

$$\text{rispetto } x_3 = -\frac{1}{2}$$

e - su $x_3 < 0$

t su $x_3 \geq 0$

Geometria Lemma:



$$\Lambda_n = \Lambda_n^+ \cup \Lambda_n^0 \cup \Lambda_n^-$$

Λ_n^- immagine
speculare di Λ_n^+
rispetto $x_3 = 0$

ho infatti occupato δ_x $x \in \Lambda_n^+$

con $\delta_{x'}$ $x' \in \Lambda_n^-$ $x = (x_1, x_2, x_3)$

$$x' = (x_1, x_2, -x_3)$$

Effettivamente:

geometria lemma \neq geometria teorema

Basta usare FKG (monotonia in h) per passare
da geometria lemma a geometria teorema

$$\Lambda_n^{teo} = \Lambda_n^{\text{lemma}} \setminus \{x_3 = n\}$$

(13)

$\alpha_3 = -\frac{1}{2}$

Se elimini questa
piano possi da
 Λ_n^{lemma} a $\Lambda_n^{\text{teorema}}$

Per monotonia FKA ($h \uparrow_{t \in \omega}$ sul piano)
avendo

$$\mu_{\Lambda_n^{teo}}^{\pm}(\delta_0) \geq \mu_{\Lambda_n^{\text{lemma}}}^{\pm}(\delta_0) \geq \cancel{\mu}_{\Lambda_n^{\text{teorema}}}^{\pm}(\delta_0) \geq \delta_{>0}$$